NetWorks Sp. z o.o.
Laboratorium Badań Środowiskowych
ul. Józefa Piusa Dziekońskiego 3
00-728 Warszawa
e-mail: Laboratorium@networks.pl

AB 419

S P R A W O Z D A N I E 2642/2023/OS
Z POMIARÓW PÓL ELEKTROMAGNETYCZNYCH
WYKONANYCH DLA POTRZEB OCHRONY ŚRODOWISKA

Badany obiekt: Instalacja radiokomunikacyjna T-Mobile Polska S.A.

Numer i nazwa: 27041 (86029N!) WLU_LUBLIN_MELGIEWSKA16

Adres: LUBLIN, MEŁGIEWSKA 16A,Powiat m. Lublin, WOJ. LUBELSKIE

Data wykonania pomiarów: 2024-01-24

Sprawozdanie z badań bez pisemnej zgody laboratorium nie może być powielane inaczej niż w całości.
Wynik przedstawione w niniejszym sprawozdaniu odnoszą się wyłącznie do badanego obiektu i do warunków i konfiguracji urządzeń w dniu wykonywania pomiarów.

1. **Właściciel badanego obiektu:**
   T-Mobile Polska S.A., ul. Marynarska 12, 02-674 Warszawa

2. **Zleceniodawca:**
   T-Mobile Polska S.A., ul. Marynarska 12, 02-674 Warszawa

3. **Przedstawiciel zleceniodawcy:**
   NetWorks Sp. z o.o.

4. **Zakres zlecenia:**
   Wykonanie badania i opracowanie sprawozdania z pomiarów natężenia pola elektrycznego i pola magnetycznego dla instalacji radiokomunikacyjnej T-Mobile Polska S.A. zlokalizowanej w miejscowości LUBLIN, MEŁGIEWSKA 16A.

5. **Cel zlecenia:**
   Wykonanie pomiarów pól elektomagnetycznych w otoczeniu instalacji radiokomunikacyjnej 27041 (86029N!) WLU_LUBLIN_MELGIEWSKA16 w odniesieniu do wymagań określonych w *Rozporządzeniu Ministra Klimatu z dnia 17 lutego 2020 r. w sprawie sposobów sprawdzania dotrzymania dopuszczalnych poziomów pól elektromagnetycznych w środowisku (Dz.U. 2022 poz. 2630).*

6. **Pomiary zostały wykonane przez:**

7. **Informacje o źródłach pól elektromagnetycznych**

7.1. Sposób identyfikacji badanych źródeł pól elektromagnetycznych

Identyfikacji źródeł i parametrów technicznych dokonano na podstawie analizy dokumentacji dotyczącej zlecenia oraz obserwacji miejsca wykonywania badań.

7.2. Opis miejsca zainstalowania anten i urządzeń technicznych. Opis obiektu badań i jego otoczenia

Instalacja radiokomunikacyjna zlokalizowana jest na terenie ogrodzonym. Anteny zawieszono na wieży strunobetonowej. Urządzenia sterujące oraz zasilające zainstalowano w kontenerze u podstawy wieży. Wokół instalacji znajduje się miasto.
Instalacja radiokomunikacyjna jest obiektem bezobsługowym. Okresowe stanowiska pracy związane są z prowadzonymi w zależności od potrzeb konserwacjami, przeglądami, strojeniem i naprawami.

Sprawozdanie z badań bez pisemnej zgody laboratorium nie może być powielane inaczej niż w całości.
Wynik przedstawione w niniejszym sprawozdaniu odnoszą się wyłącznie do badanego obiektu i do warunków i konfiguracji urządzeń w dniu wykonywania pomiarów.

7.3. Parametry techniczne źródła pola elektromagnetycznego

Dane przedstawiające maksymalne parametry pracy instalacji przekazane przez zleceniodawcę:

Parametry systemu nadawczo-odbiorczego:

Charakterystyka promieniowania	kierunkowa
Rzeczywisty czas pracy [h/dobę]	24
Warunki pracy	znamionowe
Rodzaj wytwarzanego pola	stacjonarne

Lp.	Częstotliwość lub zakresy częstotliwości pracy [MHz]	Typ/producent anteny	liczba anten	Azymut [°]	kąt pochylenia [°]	Wysokość środka elektrycznego anteny [m n.p.t]	Równoważna moc promieniowana izotropowo (EIRP) [W]
1	3600	AQQQ NSN	1	110	0-12**	36	45293
2	900/1800/2100	ATR4518R13v06 Huawei	1	110	-4-8**/5.5*/5.5*	36	16051
3	800	ATR4518R13 Huawei	1	110	1-13**	36	1706
4	3600	AQQQ NSN	1	230	0-12**	36	45293
5	900/1800/2100	ATR4518R13v06 Huawei	1	230	-3-9**/4.5*/4.5*	36	16051
6	800	ATR4518R13 Huawei	1	230	0-12**	36	1706
7	3600	AQQQ NSN	1	350	0-12**	36	45293
8	900/1800/2100	ATR4518R13v06 Huawei	1	350	-4-8**/5.5*/5.5*	36	16051
9	800	ATR4518R13v06 Huawei	1	350	1-13**	36	1706

* wskazane wartości kąta pochylenia anten, zgodnie z informacją uzyskaną od zleceniodawcy, są wartościami stałymi

** pomiary wykonano zgodnie z pkt 13., ppkt 2 załącznika do Rozporządzenia Ministra Klimatu z dnia 17 lutego 2020 r. (Dz. U. 2022, poz. 2630).

Parametry radiolinii:

Charakterystyka promieniowania	kierunkowa
Rzeczywisty czas pracy [h/dobę]	24
Warunki pracy	znamionowe
Rodzaj wytwarzanego pola	stacjonarne

Lp.	Linia radiowa			Antena			
	Typ/ Producent	Częstotliwość pracy [GHz]	Równoważna moc promieniowana izotropowo (EIRP) [W]	Typ/ producent	Średnica anteny [m]	Azymut [°]	Wysokość zainstalowania n.p.t [m]
1.	NEC iPasolink 100E Harris Stratex	38	12	VHLP1-38 Andrew	0.3	53	47.5
2.	RTN 380AX DC 70/80GHz 250MHz Huawei	80	5012	A80D06 Huawei	0.6	57	47.5
3.	ERICSSON CN510 6363 Harris Stratex	38	1	ANT3_0.3 38 HP/HPX Ericsson	0.3	68	47.5
4.	Huawei RTN 905S XMC-3<w:br/>NEC iPasolink 100E Huawei	32/38	8/4	VHLP1-38 Andrew	0.3	92	47.5

Sprawozdanie z badań bez pisemnej zgody laboratorium nie może być powielane inaczej niż w całości.
Wynik przedstawione w niniejszym sprawozdaniu odnoszą się wyłącznie do badanego obiektu i do warunków i konfiguracji urządzeń w dniu wykonywania pomiarów.

Charakterystyka promieniowania	kierunkowa
Rzeczywisty czas pracy [h/dobę]	24
Warunki pracy	znamionowe
Rodzaj wytwarzanego pola	stacjonarne

Lp.	Linia radiowa			Antena			
	Typ/ Producent	Częstotliwość pracy [GHz]	Równoważna moc promieniowana izotropowo (EIRP) [W]	Typ/ producent	Średnica anteny [m]	Azymut [°]	Wysokość zainstalowania n.p.t [m]
5.	NEC iPasolink 100E Harris Stratex	38	5	VHLP1-38 Andrew	0.3	124	47.5
6.	NEC iPasolink 100E<w:br/>ERICSSON CN510 6363 Harris Stratex	38/38	15/11	VHLP1-38 Ericsson	0.3	178	47.5
7.	Ericsson CN510 RAU2X Harris Stratex	38	14	ANT2_0.3 38 HP Ericsson	0.3	196	47.5
8.	ERICSSON CN510 6363 Harris Stratex	38	14	ANT3_0.3 38 HP/HPX Ericsson	0.3	276	50

7.4 Inne źródła pól elektromagnetycznych

Na podstawie informacji otrzymanych od użytkownika oraz obserwacji otoczenia miejsca wykonywania pomiarów stwierdzono występowanie innych źródeł pola-EM, pracujących w systemie: telefonii komórkowej (800MHz-2600MHz),linii radiowych (5GHz – 90GHz), które istotnie wpływają na wyniki pomiarów.

8. Opis pomiarów

8.1. Metoda badań

Zgodna z rozporządzeniem Ministra Klimatu z dnia 17 lutego 2020 r. w sprawie sposobów sprawdzania dotrzymania dopuszczalnych poziomów pól elektromagnetycznych w środowisku (Dz.U. 2022 poz. 2630), określona w pkt 25 ppkt 1 załącznika do niniejszego rozporządzenia.

8.2. Termin pomiarów i warunki środowiskowe

Podczas wykonywania pomiarów pól elektromagnetycznych nie występowały opady atmosferyczne. Wyniki pomiaru parametrów pogodowych przedstawia poniższa tabela:

Data [rrrr-mm- dd]	Godzina [hh:mm-hh:mm]	Warunki środowiskowe			
		Temperatura [°C]		Wilgotność względna [%]	
		Przed pomiarem	Po pomiarach	Przed pomiarem	Po pomiarach
2024-01-24	07:40-09:00	2.2	2.4	69.3	68.7

Przedstawione wyżej warunki środowiskowe, występujące podczas wykonywania pomiarów pól elektromagnetycznych, są zgodne ze specyfikacją techniczną użytego zestawu pomiarowego.

8.3. Warunki pracy urządzeń nadawczych

Podczas pomiarów w przypadku uzyskania wyniku pomiaru szerokopasmowego wykonanego zastosowaną metodą, dla zakresów częstotliwości od 10 MHz do 300 GHz, powiększonego o rozszerzoną niepewność pomiaru U dla współczynnika rozszerzenia k = 2 przekraczającego 70% najniższej dopuszczalnej wartości składowej elektrycznej lub magnetycznej pola dla objętych pomiarami zakresów częstotliwości, uwzględnia się poprawki pomiarowe przekazane przez zleceniodawcę, umożliwiające uwzględnienie maksymalnych parametrów pracy instalacji zgodnie z pkt 7 załącznika do Rozporządzeniem Ministra Klimatu z dnia 17 lutego 2020 r. w sprawie sposobów sprawdzania dotrzymania dopuszczalnych poziomów pól elektromagnetycznych w środowisku (Dz. U. 2022, poz. 2630) zaznaczając, że wymagane jest

Sprawozdanie z badań bez pisemnej zgody laboratorium nie może być powielane inaczej niż w całości.
Wynik przedstawione w niniejszym sprawozdaniu odnoszą się wyłącznie do badanego obiektu i do warunków i konfiguracji urządzeń w dniu wykonywania pomiarów.

wykonanie pomiaru z wykorzystaniem miernika selektywnego. W przypadku uzyskania wyniku pomiaru szerokopasmowego wykonanego zastosowaną metodą, dla zakresów częstotliwości od 10 MHz do 300 GHz, powiększonego o rozszerzoną niepewność pomiaru U dla współczynnika rozszerzenia k = 2 nieprzekraczającego 70% najniższej dopuszczalnej wartości składowej elektrycznej lub magnetycznej pola dla objętych pomiarami zakresów częstotliwości, nie uwzględnia się poprawek pomiarowych.

8.4. Wyposażenie pomiarowe

Zestaw pomiarowy służący do pomiaru natężenia składowej elektrycznej pola elektromagnetycznego złożony z szerokopasmowego miernika i sondy pomiarowej:

Oznaczenie miernika	Producent	Model	Numer fabryczny	Oznaczenie sondy	Producent	Model	Numer fabryczny
MW-10	Wavecontrol	Miernik pól elektromagnetycznych SMP3	23SL0222	SW-19	Wavecontrol	Sonda WPF90	23WP260006

Mierniki natężenia pola elektromagnetycznego podlegają okresowemu sprawdzeniu zgodnie z procedurą wewnętrzną P-03 i PB-01. Świadectwo wzorcowania zestawu pomiarowego z dnia 11 września 2023 o numerze LWiMP/W/330/23 wydane przez Politechnika Wrocławska.
Data ważności świadectwa wzorcowania: 11 września 2025 (zgodnie z procedurą wewnętrzną P-03).

Oznaczenie miernika	Producent	Model	Numer fabryczny	Oznaczenie sondy	Producent	Model	Numer fabryczny
MW-10	Wavecontrol	Miernik pól elektromagnetycznych SMP3	23SL0222	SW-20	Wavecontrol	Sonda WPF6-HP	23WP060415

Mierniki natężenia pola elektromagnetycznego podlegają okresowemu sprawdzeniu zgodnie z procedurą wewnętrzną P-03 i PB-01. Świadectwo wzorcowania zestawu pomiarowego z dnia 11 września 2023 o numerze LWiMP/W/330/23 wydane przez Politechnika Wrocławska.
Data ważności świadectwa wzorcowania: 11 września 2025 (zgodnie z procedurą wewnętrzną P-03).

Termohigrometr:

Oznaczenie:	TH-25	Producent:	AZ INSTRUMENT CORP	Model:	Termohigrometr AZ8706

Data ważności świadectwa wzorcowania: 12 lipca 2025 (zgodnie z procedurą wewnętrzną P-03).

Dalmierz:

Oznaczenie	Producent	Typ	Numer seryjny	Nr świadectwa wzorcowania	Data świadectwa wzorcowania
D-19	Leica	Dalmierz Leica Disto D510	1030441013	Z3-Z32.4180.152.2023.3253.1	23 października 2023

Data ważności świadectwa wzorcowania: 23 października 2033 (zgodnie z procedurą wewnętrzną P-03).

Odbiornik GNSS:

Odbiornik GNSS wbudowany w miernik natężenia pola elektromagnetycznego użyty podczas pomiarów	Producent	Model
	UBlox	MAX-M8Q

Odbiorniki podlegają okresowemu sprawdzeniu zgodnie z procedurą wewnętrzną P-03.

Sprawozdanie z badań bez pisemnej zgody laboratorium nie może być powielane inaczej niż w całości.
Wynik przedstawione w niniejszym sprawozdaniu odnoszą się wyłącznie do badanego obiektu i do warunków i konfiguracji urządzeń w dniu wykonywania pomiarów.

9. Wyniki pomiarów

Pole elektryczne

Nr pionu	Opis umiejscowienia pionu (punktu) pomiarowego	Wysokość pomiaru [m]	Zmierzona wartość natężenia pola elektrycznego E [V/m][1,5]			Wartość natężenia pola elektrycznego powiększona o niepewność pomiaru [4] E [V/m]	Wskaźnikowa wartość poziomu emisji pól elektromagnetycznych WM_E[3]	Współrzędne geograficzne pionu (punktu) pomiarowego [2]
			Sonda SW-19	Sonda SW-20	SUMA			
1	DPP, budynek biurowy, 1 piętro, gabinet, okno otwarte, ul. Mełgiewska 16a	2.0	1.2	1.2	1.2	1.5	0.06	51°14'49.9" 22°36'52.9"
2	DPP, budynek biurowy, 1 piętro, sala konferencyjna, okno otwarte, ul. Mełgiewska 18	2.0	**2.8**	**2.8**	**2.8**	3.6	0.13	51°14'52.1" 22°36'54.0"
3	PKP w wejściu do parterowego budynku marketu Castorama, ul. Mełgiewska 16c. Brak okien od strony anten	2.0	1.8	1.8	1.8	2.3	0.08	51°14'50.3" 22°36'56.9"
4	GKP w odległości 65m od anteny radioliniowej az. 53°	2.0	1.5	1.5	1.5	1.9	0.07	51°14'52.4" 22°36'56.9"
5	GKP w odległości 56m od anteny radioliniowej az. 57°	2.0	1.6	1.6	1.6	2.1	0.07	51°14'52.4" 22°36'56.5"
6	GKP w odległości 56m od anteny radioliniowej az. 68°	2.0	1.7	1.7	1.7	2.2	0.08	51°14'51.7" 22°36'56.9"
7	GKP w odległości 44m od anteny radioliniowej az. 74°	2.0	1.7	1.7	1.7	2.2	0.08	51°14'51.7" 22°36'56.5"
8	GKP w odległości 48m od anteny radioliniowej az. 92°	2.0	1.9	1.9	1.9	2.4	0.09	51°14'51.4" 22°36'56.9"
9	GKP w odległości 11m od anteny sektorowej az. 110°	2.0	1.8	1.8	1.8	2.3	0.08	51°14'51.0" 22°36'54.7"
10	GKP w odległości 35m od anteny sektorowej az. 110°	2.0	2.2	2.2	2.2	2.8	0.1	51°14'50.6" 22°36'56.2"
11	GKP w odległości 57m od anteny sektorowej az. 110°	2.0	1.8	1.8	1.8	2.3	0.08	51°14'50.6" 22°36'57.2"
-	GKP w odległości 129m od anteny sektorowej az. 110°	0.3-2.0	<1.0*	<1.0*	<1.0*	1.3	0.05	51°14'49.9" 22°37'0.5"
13	GKP w odległości 56m od anteny radioliniowej az. 124°	2.0	1.6	1.6	1.6	2.1	0.07	51°14'50.3" 22°36'56.5"
14	GKP w odległości 60m od anteny radioliniowej az. 169°	2.0	1.4	1.4	1.4	1.8	0.06	51°14'49.2" 22°36'54.7"
15	GKP w odległości 54m od anteny radioliniowej az. 178°	0.3-2.0	<1.0*	<1.0*	<1.0*	1.3	0.05	51°14'49.6" 22°36'54.4"
16	GKP w odległości 57m od anteny radioliniowej az. 196°	2.0	1.7	1.7	1.7	2.2	0.08	51°14'49.6" 22°36'53.3"
17	GKP w odległości 14m od anteny sektorowej az. 230°	2.0	1.7	1.7	1.7	2.2	0.08	51°14'51.0" 22°36'53.6"
18	GKP w odległości 73m od anteny sektorowej az. 230°	2.0	1.9	1.9	1.9	2.4	0.09	51°14'49.6" 22°36'51.1"
19	GKP w odległości 103m od anteny sektorowej az. 230°	2.0	2.1	2.1	2.1	2.7	0.1	51°14'48.8" 22°36'50.0"

Sprawozdanie z badań bez pisemnej zgody laboratorium nie może być powielane inaczej niż w całości.
Wynik przedstawione w niniejszym sprawozdaniu odnoszą się wyłącznie do badanego obiektu i do warunków i konfiguracji urządzeń w dniu wykonywania pomiarów.

20	GKP w odległości 40m od anteny radioliniowej az. 276°	2.0	1.5	1.5	1.5	1.9	0.07	51°14'51.4" 22°36'52.2"
21	GKP w odległości 10m od anteny sektorowej az. 350°	2.0	1.6	1.6	1.6	2.1	0.07	51°14'51.7" 22°36'54.0"
22	GKP w odległości 28m od anteny sektorowej az. 350°	2.0	2.2	2.2	2.2	2.8	0.1	51°14'52.1" 22°36'54.0"
23	GKP w odległości 105m od anteny sektorowej az. 350°	0.3-2.0	<1.0*	<1.0*	<1.0*	1.3	0.05	51°14'54.6" 22°36'53.3"
24	PKP na az. 75° w odległości 38m od anteny sektorowej az. 110°	2.0	1.6	1.6	1.6	2.1	0.07	51°14'51.4" 22°36'56.2"
25	PKP na az. 90° w odległości 35m od anteny sektorowej az. 110°	2.0	1.7	1.7	1.7	2.2	0.08	51°14'51.0" 22°36'56.2"
26	PKP na az. 103° w odległości 45m od anteny sektorowej az. 110°	2.0	1.9	1.9	1.9	2.4	0.09	51°14'51.0" 22°36'56.5"
27	PKP na az. 117° w odległości 42m od anteny sektorowej az. 110°	2.0	2.0	2.0	2.0	2.6	0.09	51°14'50.6" 22°36'56.2"
28	PKP na az. 130° w odległości 46m od anteny sektorowej az. 110°	2.0	1.6	1.6	1.6	2.1	0.07	51°14'50.3" 22°36'56.2"
29	PKP na az. 145° w odległości 44m od anteny sektorowej az. 110°	2.0	1.4	1.4	1.4	1.8	0.06	51°14'49.9" 22°36'55.4"
30	PKP na az. 195° w odległości 34m od anteny sektorowej az. 230°	2.0	1.8	1.8	1.8	2.3	0.08	51°14'50.3" 22°36'53.6"
31	PKP na az. 210° w odległości 37m od anteny sektorowej az. 230°	2.0	1.7	1.7	1.7	2.2	0.08	51°14'50.3" 22°36'53.3"
32	PKP na az. 237° w odległości 75m od anteny sektorowej az. 230°	2.0	1.7	1.7	1.7	2.2	0.08	51°14'49.9" 22°36'50.8"
33	PKP na az. 250° w odległości 69m od anteny sektorowej az. 230°	2.0	1.3	1.3	1.3	1.7	0.06	51°14'50.3" 22°36'50.8"
34	PKP na az. 265° w odległości 21m od anteny sektorowej az. 230°	2.0	1.6	1.6	1.6	2.1	0.07	51°14'51.0" 22°36'52.9"
35	PKP na az. 265° w odległości 61m od anteny sektorowej az. 230°	0.3-2.0	<1.0*	<1.0*	<1.0*	1.3	0.05	51°14'51.0" 22°36'51.1"
36	PKP na az. 315° w odległości 43m od anteny sektorowej az. 350°	2.0	1.5	1.5	1.5	1.9	0.07	51°14'52.4" 22°36'52.6"
37	PKP na az. 330° w odległości 40m od anteny sektorowej az. 350°	2.0	1.7	1.7	1.7	2.2	0.08	51°14'52.4" 22°36'53.3"
38	PKP na az. 343° w odległości 34m od anteny sektorowej az. 350°	2.0	2.0	2.0	2.0	2.6	0.09	51°14'52.4" 22°36'53.6"
39	PKP na az. 357° w odległości 21m od anteny sektorowej az. 350°	2.0	2.1	2.1	2.1	2.7	0.1	51°14'52.1" 22°36'54.0"

Sprawozdanie z badań bez pisemnej zgody laboratorium nie może być powielane inaczej niż w całości.
Wynik przedstawione w niniejszym sprawozdaniu odnoszą się wyłącznie do badanego obiektu i do warunków i konfiguracji urządzeń w dniu wykonywania pomiarów.

40	PKP na az. 10° w odległości 30m od anteny sektorowej az. 350°	2.0	1.9	1.9	1.9	2.4	0.09	51°14'52.1" 22°36'54.4"
41	PKP na az. 25° w odległości 24m od anteny sektorowej az. 350°	2.0	1.6	1.6	1.6	2.1	0.07	51°14'52.1" 22°36'54.7"
-	GKP w odległości 175m od anteny sektorowej az. 110°	0.3-2.0	<1.0*	<1.0*	<1.0*	1.3	0.05	51°14'49.2" 22°37'2.6"
-	GKP w odległości 300m od anteny sektorowej az. 110°	0.3-2.0	<1.0*	<1.0*	<1.0*	1.3	0.05	51°14'47.8" 22°37'8.8"
-	GKP w odległości 192m od anteny sektorowej az. 230°	0.3-2.0	<1.0*	<1.0*	<1.0*	1.3	0.05	51°14'47.0" 22°36'46.4"
-	GKP w odległości 267m od anteny sektorowej az. 230°	0.3-2.0	<1.0*	<1.0*	<1.0*	1.3	0.05	51°14'45.6" 22°36'43.6"
-	GKP w odległości 189m od anteny sektorowej az. 350°	0.3-2.0	<1.0*	<1.0*	<1.0*	1.3	0.05	51°14'57.5" 22°36'52.6"
-	GKP w odległości 298m od anteny sektorowej az. 350°	0.3-2.0	<1.0*	<1.0*	<1.0*	1.3	0.05	51°15'0.7" 22°36'51.5"

Pole magnetyczne (wyznaczone na podstawie pomiaru wartości natężenia pola elektrycznego)

Nr pionu	Opis umiejscowienia pionu (punktu) pomiarowego	Wysokość pomiaru [m]	Wartość natężenia pola magnetycznego H [A/m][1]			Wartość natężenia pola magnetycznego powiększona o niepewność pomiaru[4] H [A/m]	Wskaźnikowa wartość poziomu emisji pól elektromagnetycznych WM_H[3]	Współrzędne geograficzne pionu (punktu) pomiarowego[2]
			Sonda SW-19	Sonda SW-20	SUMA			
1	DPP, budynek biurowy, 1 piętro, gabinet, okno otwarte, ul. Mełgiewska 16a	2.0	0.003	0.003	0.003	0.004	0.06	51°14'49.9" 22°36'52.9"
2	DPP, budynek biurowy, 1 piętro, sala konferencyjna, okno otwarte, ul. Mełgiewska 18	2.0	**0.007**	**0.007**	0.007	0.01	0.13	51°14'52.1" 22°36'54.0"
3	PKP w wejściu do parterowego budynku marketu Castorama, ul. Mełgiewska 16c. Brak okien od strony anten	2.0	0.005	0.005	0.005	0.006	0.08	51°14'50.3" 22°36'56.9"
4	GKP w odległości 65m od anteny radioliniowej az. 53°	2.0	0.004	0.004	0.004	0.005	0.07	51°14'52.4" 22°36'56.9"
5	GKP w odległości 56m od anteny radioliniowej az. 57°	2.0	0.004	0.004	0.004	0.005	0.07	51°14'52.4" 22°36'56.5"
6	GKP w odległości 56m od anteny radioliniowej az. 68°	2.0	0.005	0.005	0.005	0.006	0.08	51°14'51.7" 22°36'56.9"
7	GKP w odległości 44m od anteny radioliniowej az. 74°	2.0	0.005	0.005	0.005	0.006	0.08	51°14'51.7" 22°36'56.5"
8	GKP w odległości 48m od anteny radioliniowej az. 92°	2.0	0.005	0.005	0.005	0.006	0.09	51°14'51.4" 22°36'56.9"

Sprawozdanie z badań bez pisemnej zgody laboratorium nie może być powielane inaczej niż w całości.
Wynik przedstawione w niniejszym sprawozdaniu odnoszą się wyłącznie do badanego obiektu i do warunków i konfiguracji urządzeń w dniu wykonywania pomiarów.

9	GKP w odległości 11m od anteny sektorowej az. 110°	2.0	0.005	0.005	0.005	0.006	0.08	51°14'51.0" 22°36'54.7"
10	GKP w odległości 35m od anteny sektorowej az. 110°	2.0	0.006	0.006	0.006	0.008	0.1	51°14'50.6" 22°36'56.2"
11	GKP w odległości 57m od anteny sektorowej az. 110°	2.0	0.005	0.005	0.005	0.006	0.08	51°14'50.6" 22°36'57.2"
-	GKP w odległości 129m od anteny sektorowej az. 110°	0.3-2.0	<0.003*	<0.003*	<0.003*	0.003	0.05	51°14'49.9" 22°37'0.5"
13	GKP w odległości 56m od anteny radioliniowej az. 124°	2.0	0.004	0.004	0.004	0.005	0.07	51°14'50.3" 22°36'56.5"
14	GKP w odległości 60m od anteny radioliniowej az. 169°	2.0	0.004	0.004	0.004	0.005	0.07	51°14'49.2" 22°36'54.7"
15	GKP w odległości 54m od anteny radioliniowej az. 178°	0.3-2.0	<0.003*	<0.003*	<0.003*	0.003	0.05	51°14'49.6" 22°36'54.4"
16	GKP w odległości 57m od anteny radioliniowej az. 196°	2.0	0.005	0.005	0.005	0.006	0.08	51°14'49.6" 22°36'53.3"
17	GKP w odległości 14m od anteny sektorowej az. 230°	2.0	0.005	0.005	0.005	0.006	0.08	51°14'51.0" 22°36'53.6"
18	GKP w odległości 73m od anteny sektorowej az. 230°	2.0	0.005	0.005	0.005	0.006	0.09	51°14'49.6" 22°36'51.1"
19	GKP w odległości 103m od anteny sektorowej az. 230°	2.0	0.006	0.006	0.006	0.007	0.1	51°14'48.8" 22°36'50.0"
20	GKP w odległości 40m od anteny radioliniowej az. 276°	2.0	0.004	0.004	0.004	0.005	0.07	51°14'51.4" 22°36'52.2"
21	GKP w odległości 10m od anteny sektorowej az. 350°	2.0	0.004	0.004	0.004	0.005	0.07	51°14'51.7" 22°36'54.0"
22	GKP w odległości 28m od anteny sektorowej az. 350°	2.0	0.006	0.006	0.006	0.008	0.1	51°14'52.1" 22°36'54.0"
23	GKP w odległości 105m od anteny sektorowej az. 350°	0.3-2.0	<0.003*	<0.003*	<0.003*	0.003	0.05	51°14'54.6" 22°36'53.3"
24	PKP na az. 75° w odległości 38m od anteny sektorowej az. 110°	2.0	0.004	0.004	0.004	0.005	0.07	51°14'51.4" 22°36'56.2"
25	PKP na az. 90° w odległości 35m od anteny sektorowej az. 110°	2.0	0.005	0.005	0.005	0.006	0.08	51°14'51.0" 22°36'56.2"
26	PKP na az. 103° w odległości 45m od anteny sektorowej az. 110°	2.0	0.005	0.005	0.005	0.006	0.09	51°14'51.0" 22°36'56.5"
27	PKP na az. 117° w odległości 42m	2.0	0.005	0.005	0.005	0.007	0.09	51°14'50.6" 22°36'56.2"

Sprawozdanie z badań bez pisemnej zgody laboratorium nie może być powielane inaczej niż w całości.
Wynik przedstawione w niniejszym sprawozdaniu odnoszą się wyłącznie do badanego obiektu i do warunków i konfiguracji urządzeń w dniu wykonywania pomiarów.

	od anteny sektorowej az. 110°							
28	PKP na az. 130° w odległości 46m od anteny sektorowej az. 110°	2.0	0.004	0.004	0.004	0.005	0.07	51°14'50.3" 22°36'56.2"
29	PKP na az. 145° w odległości 44m od anteny sektorowej az. 110°	2.0	0.004	0.004	0.004	0.005	0.07	51°14'49.9" 22°36'55.4"
30	PKP na az. 195° w odległości 34m od anteny sektorowej az. 230°	2.0	0.005	0.005	0.005	0.006	0.08	51°14'50.3" 22°36'53.6"
31	PKP na az. 210° w odległości 37m od anteny sektorowej az. 230°	2.0	0.005	0.005	0.005	0.006	0.08	51°14'50.3" 22°36'53.3"
32	PKP na az. 237° w odległości 75m od anteny sektorowej az. 230°	2.0	0.005	0.005	0.005	0.006	0.08	51°14'49.9" 22°36'50.8"
33	PKP na az. 250° w odległości 69m od anteny sektorowej az. 230°	2.0	0.003	0.003	0.003	0.004	0.06	51°14'50.3" 22°36'50.8"
34	PKP na az. 265° w odległości 21m od anteny sektorowej az. 230°	2.0	0.004	0.004	0.004	0.005	0.07	51°14'51.0" 22°36'52.9"
35	PKP na az. 265° w odległości 61m od anteny sektorowej az. 230°	0.3-2.0	<0.003*	<0.003*	<0.003*	0.003	0.05	51°14'51.0" 22°36'51.1"
36	PKP na az. 315° w odległości 43m od anteny sektorowej az. 350°	2.0	0.004	0.004	0.004	0.005	0.07	51°14'52.4" 22°36'52.6"
37	PKP na az. 330° w odległości 40m od anteny sektorowej az. 350°	2.0	0.005	0.005	0.005	0.006	0.08	51°14'52.4" 22°36'53.3"
38	PKP na az. 343° w odległości 34m od anteny sektorowej az. 350°	2.0	0.005	0.005	0.005	0.007	0.09	51°14'52.4" 22°36'53.6"
39	PKP na az. 357° w odległości 21m od anteny sektorowej az. 350°	2.0	0.006	0.006	0.006	0.007	0.1	51°14'52.1" 22°36'54.0"
40	PKP na az. 10° w odległości 30m od anteny sektorowej az. 350°	2.0	0.005	0.005	0.005	0.006	0.09	51°14'52.1" 22°36'54.4"
41	PKP na az. 25° w odległości 24m od anteny sektorowej az. 350°	2.0	0.004	0.004	0.004	0.005	0.07	51°14'52.1" 22°36'54.7"
-	GKP w odległości 175m od anteny sektorowej az. 110°	0.3-2.0	<0.003*	<0.003*	<0.003*	0.003	0.05	51°14'49.2" 22°37'2.6"

Sprawozdanie z badań bez pisemnej zgody laboratorium nie może być powielane inaczej niż w całości.
Wynik przedstawione w niniejszym sprawozdaniu odnoszą się wyłącznie do badanego obiektu i do warunków i konfiguracji urządzeń w dniu wykonywania pomiarów.

-	GKP w odległości 300m od anteny sektorowej az. 110°	0.3-2.0	<0.003*	<0.003*	<0.003*	0.003	0.05	51°14'47.8" 22°37'8.8"
-	GKP w odległości 192m od anteny sektorowej az. 230°	0.3-2.0	<0.003*	<0.003*	<0.003*	0.003	0.05	51°14'47.0" 22°36'46.4"
-	GKP w odległości 267m od anteny sektorowej az. 230°	0.3-2.0	<0.003*	<0.003*	<0.003*	0.003	0.05	51°14'45.6" 22°36'43.6"
-	GKP w odległości 189m od anteny sektorowej az. 350°	0.3-2.0	<0.003*	<0.003*	<0.003*	0.003	0.05	51°14'57.5" 22°36'52.6"
-	GKP w odległości 298m od anteny sektorowej az. 350°	0.3-2.0	<0.003*	<0.003*	<0.003*	0.003	0.05	51°15'0.7" 22°36'51.5"

GKP – Główny Kierunek Pomiarowy
DPP – Dodatkowy Pion Pomiarowy
PKP – Pomocniczy Kierunek Pomiarowy
[1] wyniki oznaczone * są wynikami poniżej czułości zestawu pomiarowego i są wynikami spoza zakresu akredytacji. Do obliczenia wyniku skorygowanego przyjęto wartość skorelowaną z rzeczywistym wynikiem pomiaru - dolną granicę akredytowanego zakresu pomiarowego metody
[2] współrzędne geograficzne pozyskane metodą pomiaru bezpośredniego
[3] do wyznaczenia wartości wskaźnikowej WM_E i WM_H przyjęto na podstawie uzgodnień z klientem oraz rozpoznania źródeł, jako wartości dopuszczalne pola elektrycznego i magnetycznego odpowiednio 28 V/m i 0,073 A/m.
[4] do wyznaczenia niepewności dla wyników poniżej czułości zestawu pomiarowego, przyjęto niepewność dla minimalnej wartości z zakresu pomiarowego.
[5] maksymalna wartość chwilowa
Niepewność oszacowano zgodnie z dokumentem P-03 „Procedura nadzoru nad wyposażeniem" w postaci niepewności rozszerzonej wynikającej z niepewności standardowej pomnożonej przez współczynnik rozszerzenia k=2.
Całkowita szacowana niepewność rozszerzona składowej E wynosi odpowiednio:
sonda SW-19: 28.7% dla częstotliwości do 4 GHz, sonda SW-20: 27.1% dla częstotliwości do 4 GHz

Umiejscowienie pionów (punktów) pomiarowych przedstawiono w załączniku nr 2 do niniejszego sprawozdania.

10. Omówienie wyników pomiarów

W związku z tym, że żadna z wartości zmierzonych, udokumentowanych w tabelach w pkt. 9, uzyskanych w skutek zastosowania pomiaru szerokopasmowego, powiększonego o rozszerzoną niepewność pomiaru U dla współczynnika rozszerzenia k = 2 nie przekroczyła 70% najniższej dopuszczalnej wartości składowej elektrycznej lub magnetycznej pola dla objętych pomiarami zakresów częstotliwości, nie uwzględnia się poprawek pomiarowych.

W wyniku zastosowania sposobu sprawdzenia dotrzymania dopuszczalnych poziomów pól elektromagnetycznych w środowisku, zgodnie pkt 25 ppkt 1 Rozporządzenia Ministra Klimatu z dnia 17 lutego 2020 r. (Dz. U. 2022, poz. 2630), w związku z tym, że żadna z wartości wskaźnikowych, udokumentowanych w tabelach w pkt. 9 nie przekracza wartości 1, stwierdza się, że w miejscach, w których wykonano pomiary w otoczeniu instalacji radiokomunikacyjnej 27041 (86029N!) WLU_LUBLIN_MELGIEWSKA16, dopuszczalne poziomy pól elektromagnetycznych w środowisku należy uznać za dotrzymane.

11. Podstawa prawna

1) Ustawa z dnia 27 kwietnia 2001 r. Prawo ochrony środowiska (Dz.U. 2022 poz. 2556)
2) Rozporządzenie Ministra Zdrowia z dnia 17 grudnia 2019 r. w sprawie dopuszczalnych poziomów pól elektromagnetycznych w środowisku (Dz. U. 2019, poz. 2448)

Sprawozdanie z badań bez pisemnej zgody laboratorium nie może być powielane inaczej niż w całości.
Wynik przedstawione w niniejszym sprawozdaniu odnoszą się wyłącznie do badanego obiektu i do warunków i konfiguracji urządzeń w dniu wykonywania pomiarów.

3) Rozporządzenie Ministra Klimatu z dnia 17 lutego 2020 r. w sprawie sposobów sprawdzania dotrzymania dopuszczalnych poziomów pól elektromagnetycznych w środowisku (Dz. U. 2022, poz. 2630),
4) Akredytacja nr AB 419 wydana przez Polskie Centrum Akredytacji (wydanie 22, z dnia 9 stycznia 2024 r.)

12. Spis załączników

Załącznik 1. Lokalizacja obiektu badań
Załącznik 2. Usytuowanie pionów (punktów) pomiarowych
Załącznik 3. Dokumentacja fotograficzna obiektu badań

13. Data wydania i autoryzowania sprawozdania

Obliczenia i sprawozdanie wykonał :

Signed by / Podpisano przez:

Date / Data: 2024-01-24 13:14

Sprawozdanie autoryzował:

Signed by / Podpisano przez:

Date / Data: 2024-01-24 13:17

Koniec sprawozdania

Sprawozdanie z badań bez pisemnej zgody laboratorium nie może być powielane inaczej niż w całości.
Wynik przedstawione w niniejszym sprawozdaniu odnoszą się wyłącznie do badanego obiektu i do warunków i konfiguracji urządzeń w dniu wykonywania pomiarów.

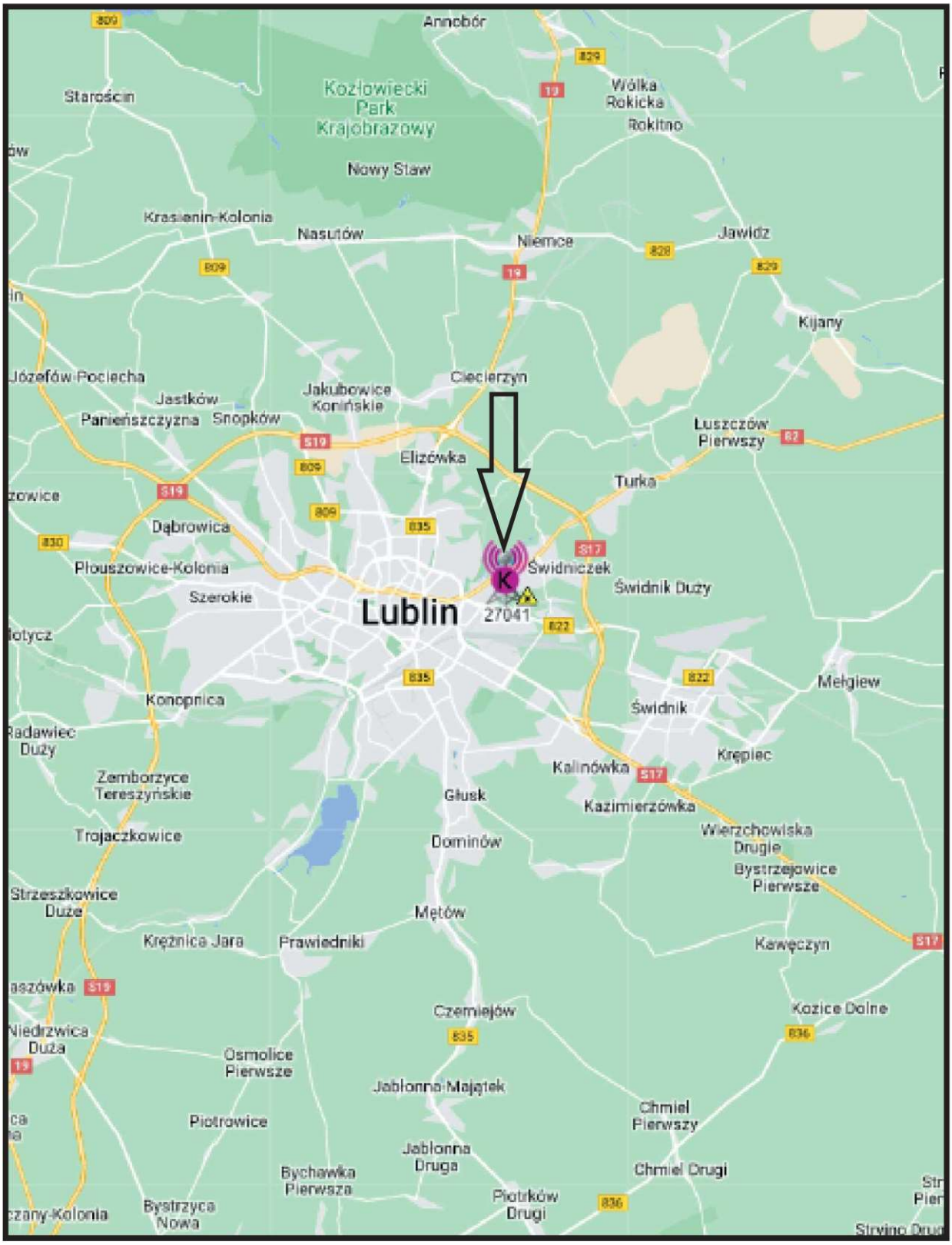

Załącznik nr 1	**INSTALACJA RADIOKOMUNIKACYJNA T-Mobile Polska S.A.** 27041 (86029N!) WLU_LUBLIN_MELGIEWSKA16 Lokalizacja instalacji radiokomunikacyjnej

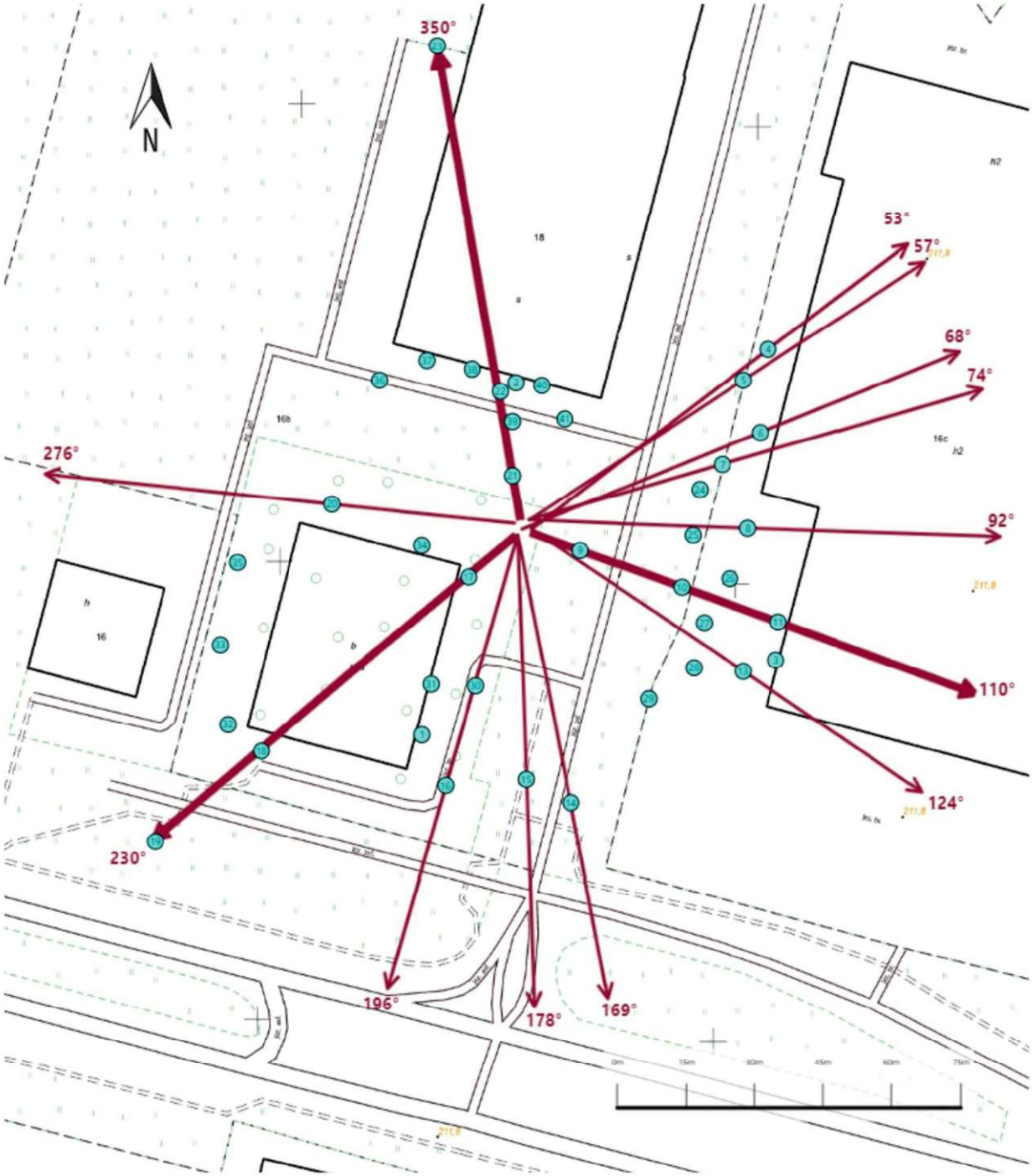

Załącznik nr 2	Instalacja radiokomunikacyjna T-Mobile Polska S.A. WLU_LUBLIN_MELGIEWSKA16 (86029N!) Usytuowanie pionów pomiarowych w otoczeniu instalacji radiokomunikacyjnej
	Legenda: X Brak dostępu X Pion pomiarowy Kierunek oddziaływania anten sektorowych Kierunek oddziaływania anten radioliniowych

Załącznik nr 3	**INSTALACJA RADIOKOMUNIKACYJNA T-Mobile Polska S.A.** 27041 (86029N!) WLU_LUBLIN_MELGIEWSKA16 Zdjęcia instalacji radiokomunikacyjnej